

ИЗОЧАСТОТНЫЕ ТЕМПЕРАТУРНЫЕ ЗАВИСИМОСТИ КОМБИНАЦИОННОГО РАССЕЯНИЯ В БЛИЗИ ТОЧКИ ФАЗОВОГО ПЕРЕХОДА В КРИСТАЛЛЕ ГЕРМАНАТА СВИНЦА

В. С. Горелик, Л. И. Злобина, С. В. Иванова, Е. В. Синяков,  
В. А. Юрин, В. Г. Моня

УДК 535.361

Обнаружено проявление мягкой моды в изочастотных зависимостях интенсивного рассеянного света кристаллов германата свинца. Показано, что наблюдаемое возрастание интенсивности удовлетворительно описывается в рамках осцилляторной модели.

Исследования мягких мод в кристаллах германата свинца методом анализа спектров комбинационного рассеяния (КР) проводились ранее в ряде работ /1-3/. Другой метод исследования мягких мод, предложенный сравнительно недавно в работе /4/, основан на построении изочастотных температурных зависимостей интенсивности рассеянного света при фиксированных частотах спектрального прибора.

В настоящей работе впервые сообщается о результатах экспериментального исследования изочастотных зависимостей КР и сопоставлении их с простыми теоретическими моделями в случае кристалла германата свинца. Изочастотные температурные зависимости регистрировались для частот 0, 10, II, 18, I9, 22, 23, 27, 3I  $\text{cm}^{-1}$  при медленном изменении температуры кристалла от 300 до 600 К для  $\chi(zz)_y$  - геометрии рассеяния.

Теоретический анализ наблюдаемых изочастотных зависимостей может быть проведен на основе общих соотношений для спектральной интенсивности, полученных в работе /4/. При этом<sup>\*</sup> в случае осцилляторной модели для так называемой приведенной спектральной интенсивности  $i(\Omega, x) = kJ(\Omega, T)/T$  ( $x = \Theta - T$ ,  $\Theta$  - темпера-

тура перехода) имеет место соотношение

$$I(\Omega, x) = \frac{2A_0 x \Gamma}{(2A_0 x - \Omega^2) + \Gamma^2 \Omega^2}, \quad (1)$$

где  $K$  – некоторый коэффициент, не зависящий от температуры,  $J(\Omega, T)$  – спектральная интенсивность рассеянного света, коэффициент  $A_0$  определяется из соотношения  $\Omega_0^2 = 2A_0 x (T < 0)$ ,  $\Omega_0^2$  – квадрат частоты мягкой моды;  $\Gamma$  – коэффициент затухания этой моды. Если пренебречь изменением величины  $\Gamma$  в рассматриваемой области температур вблизи точки перехода, то легко показать (см. /4/), что функция  $I(\Omega, x)$  имеет максимум со следующими координатами:

$$I_0 = \Gamma / [2\Omega(\sqrt{\Omega^2 + \Gamma^2} - \Omega)], \quad x_0 = \Omega \sqrt{\Omega^2 + \Gamma^2} / 2A_0. \quad (2)$$

Для релаксаторной модели выражение для приведенной спектральной интенсивности вместо (1) принимает вид:

$$I(\Omega, x) = Cx / (C^2 x^2 + \Omega^2), \quad (3)$$

где  $Cx$  – обратное время релаксации. При этом (3) получается из (1) при пренебрежении квадратом частоты в первом слагаемом знаменателя (1), что и соответствует условию релаксаторного режима; в этом случае:

$$C = 2A_0 / \Gamma, \quad x_0 = \Omega / C, \quad I_0 = 1 / 2\Omega. \quad (4)$$

На рис. I приводятся теоретические изочастотные зависимости, соответствующие осцилляторной модели. При этом расчет был выполнен для частот  $\Omega$ , используемых в нашем эксперименте. Характерными особенностями кривых рис. I являются: 1) наличие максимума для всех построенных кривых, 2) возрастание величины  $I_0$  этого максимума с уменьшением  $\Omega$ , 3) уменьшение величины  $x_0$  с уменьшением частоты  $\Omega$ , 4) уменьшение ширины  $\xi_2$  обсуждаемых контуров с уменьшением частоты  $\Omega$ .

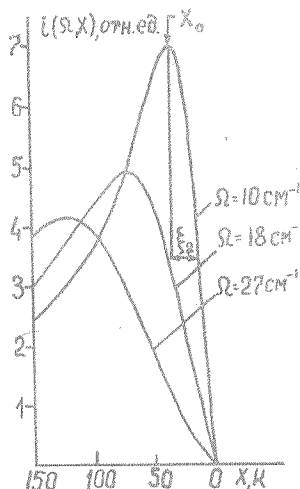
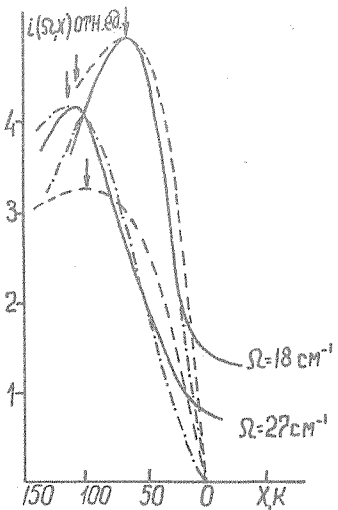


Рис. I. Теоретические изочастотные зависимости для осцилляторной модели при  $A_0 = 5 \text{ см}^{-2} \text{град}^{-1}$ ,  $\Gamma = 30 \text{ см}^{-1}$

Сопоставление экспериментальных значений величин  $x_0$ ,  $i_0$  и  $\xi_2$  с теоретическими для нескольких значений частоты  $\Omega$ .

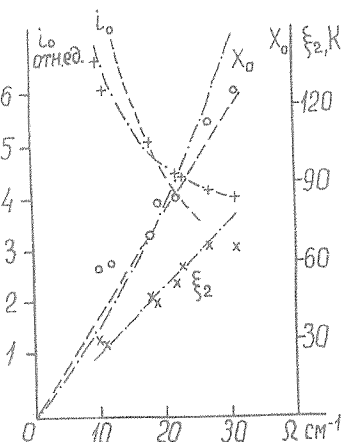
Таблица I.

Величина	Модель	Частота $\Omega$ , $\text{см}^{-1}$							
		10	12	18	19	22	23	27	31
$x_0$ , K	Эксперимент	54	56	69	82	85	92	113	125
	Осциллятор	35	39	70	75	91	97	121	149
	Релаксатор	33	36	60	63	73	77	91	104
$i_0$ , отн. ед.	Эксперимент	6,7	6,1	5,0	4,8	4,4	4,4	4,1	4,0
	Осциллятор	7,0	6,5	5,0	4,8	4,5	4,4	4,2	4,0
	Релаксатор	9,0	8,2	5,0	4,8	4,1	3,9	3,3	2,9
$\xi_2$ , K	Эксперимент	29	27	45	43	50	57	65	64
	Осциллятор	23	26	43	45	53	56	67	77
	Релаксатор	24	27	46	46	54	56	66	76



Р и с. 2. Сопоставление контуров экспериментальных и теоретических зависимостей  $i(\Omega, x)$  для  $\Omega = 18$  и  $27 \text{ см}^{-1}$ ; пунктир — релаксаторная модель, штрих-пунктир — осцилляторная модель, сплошная кривая — эксперимент

Величина коэффициента  $A_0$  температурного сдвига частоты мягкой моды вычислялась из соотношения  $x_0 = \Omega\sqrt{\Omega^2 + \Gamma^2}/2A_0$  по данным экспериментальной изочастотной температурной зависимости, полученной для  $\Omega = 18 \text{ см}^{-1}$ , и составляла  $5 \text{ см}^{-2} \text{ град}^{-1}$ . В табл. I приводятся расчетные и экспериментальные значения обсуждаемых величин  $x_0$ ,  $i_0$ ,  $A_0$  и  $\xi_2$  для нескольких значений частот  $\Omega$ . Сравнение форм теоретических и экспериментальных кривых для трех значений частот  $\Omega$  иллюстрируется рис. 2. Кроме того, на рис. 3 приводятся теоретические и экспериментальные зависимости величин  $i_0$ ,  $x_0$  и  $\xi_2$  от частоты  $\Omega$ . Как видно из рис. 2 и 3, осцилляторная модель (штрих-пунктир) в рассматриваемой области частот наилучшим образом согласуется с экспериментом. Константа  $C$  для релаксаторной модели определялась из соотношения  $C = \Omega/x_0$  для  $\Omega = 18 \text{ см}^{-1}$  и составила  $C = 0,257 (\text{см}\cdot\text{град})^{-1}$ . Как видно из рис. 2 и 3, можно говорить лишь о качественном



Р и с. 3. Зависимости величины  $i_0$ ,  $x_0$  и  $\xi_2$  от частоты  $\Omega$ :  
 + - эксперимент для  $i_0$ , о - для  $x_0$ , х - для  $\xi_2$ ; пунктир -  
 релаксаторная модель, штрих-пунктир - осцилляторная модель;  
 для зависимости  $\xi_2(\Omega)$  пунктирная и штрих-пунктирная кривые  
 совпадают

согласии теории с экспериментом в обсуждаемой области частот для этой модели. Это вполне естественно, т.к. вследствие сравнительно небольшой величины коэффициента затухания ( $\Gamma = 30 \text{ см}^{-1}$ ) релаксаторная модель должна быть применима лишь для частот  $\Omega \ll 30 \text{ см}^{-1}$ , в то время как в наших экспериментах надежный полезный сигнал удалось выявить лишь для частот  $\Omega \geq 10 \text{ см}^{-1}$ .

Таким образом, как показало выполненное исследование, экспериментальные изочастотные зависимости КР в области мягкой моды германата свинца находятся в качественном согласии с теоретическими зависимостями, соответствующими моделями одного осциллятора или релаксатора. Обнаруженные резкие изменения интенсивности изочастотных сигналов вблизи точки перехода могут быть использованы для оптической индикации фазового перехода в обсуждаемом кристалле.

Поступила в редакцию  
28 октября 1982 г.

## Л и т е р а т у р а

1. K. Hisano, J. F. Ryan, Sol. State Commun., 11, 119 (1972).
2. K. Hisano, K. Toda, Journal of Raman Spectroscopy, 10, 24 (1981).
3. B. C. Горелик, Труды ФИАН, I32, "Наука", М., 1982 г., с. I5-I40.
4. B. C. Горелик, С. В. Иванова, Краткие сообщения по физике ФИАН № II, I8 (1981).